

# ИЗМЕРЕНИЕ ВЕРОЯТНОСТИ РАСПАДОВ $\omega, \rho \rightarrow \pi^0 e^+ e^-$

*М. Н. Ачасов<sup>a,b</sup>, К. И. Белобородов<sup>a,b</sup>, А. В. Бердюгин<sup>a</sup>, А. Г. Богданчиков<sup>a</sup>,  
А. Д. Бужин<sup>a,b</sup>, Д. А. Бужин<sup>a</sup>, А. В. Васильев<sup>a,b</sup>, В. Б. Голубев<sup>a,b</sup>, Т. В. Димова<sup>a,b\*</sup>,  
В. П. Дружинин<sup>a,b</sup>, И. А. Кооп<sup>a,b</sup>, А. А. Король<sup>a</sup>, С. В. Кошуба<sup>a</sup>,  
Е. В. Пахтусова<sup>a</sup>, Е. А. Переведенцев<sup>a</sup>, С. И. Середняков<sup>a,b</sup>,  
З. К. Силагадзе<sup>a,b</sup>, А. Н. Скринский<sup>a</sup>, Ю. М. Шатунов<sup>a,b</sup>*

<sup>a</sup> Институт ядерной физики им. Будкера Сибирского отделения Российской академии наук  
630090, Новосибирск, Россия

<sup>b</sup> Новосибирский государственный университет  
630090, Новосибирск, Россия

Поступила в редакцию 18 февраля 2008 г.

В экспериментах со сферическим нейтральным детектором на  $e^+e^-$ -коллайдере ВЭПП-2М проведено исследование процессов  $e^+e^- \rightarrow \omega, \rho \rightarrow \pi^0 e^+ e^-$ . Измерена вероятность конверсионного распада  $\omega \rightarrow \pi^0 e^+ e^-$ :  $\mathcal{B}(\omega \rightarrow \pi^0 e^+ e^-) = (0.761 \pm 0.053 \pm 0.064) \cdot 10^{-3}$  и установлен верхний предел вероятности распада  $\rho \rightarrow \pi^0 e^+ e^-$ :  $\mathcal{B}(\rho \rightarrow \pi^0 e^+ e^-) < 1.2 \cdot 10^{-5}$  (90 % CL). При трех значениях квадрата переданного 4-импульса измерена величина переходного формфактора.

PACS: 13.66.Bc, 14.40.Aq, 13.40.Gp, 12.40.Vv

## 1. ВВЕДЕНИЕ

Изучение конверсионных распадов вида  $V \rightarrow P e^+ e^-$ , где  $V$  — векторный, а  $P$  — псевдоскалярный мезоны, дает информацию об электромагнитной структуре  $V$ - $P$ -перехода. На рис. 1 изображена диаграмма этих процессов. Количественно электромагнитная структура  $V$ - $P$ -перехода описывается переходным формфактором  $F(q^2)$ , зависящим от квадрата 4-импульса  $q^2$  виртуального фотона  $\gamma^*$ . Полная вероятность распада определяется преимущественно областью инвариантных масс  $e^+e^-$ -пары вблизи порога  $q^2 = 4m_e^2$  ( $m_e$  — масса электрона), где отличие переходного формфактора от единицы пренебрежимо мало. Влияние переходного формфактора проявляется, в основном, в жесткой части спектра инвариантных масс  $e^+e^-$ -пар. Вероятность конверсионного распада составляет около 1 % от вероятности соответствующего радиационного распада  $V \rightarrow P\gamma$ .

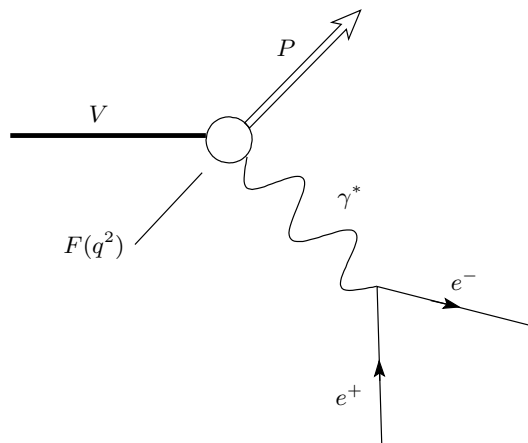


Рис. 1. Диаграмма конверсионного распада  $V \rightarrow P e^+ e^-$

Целью данной работы является измерение вероятностей распадов  $\omega, \rho \rightarrow \pi^0 e^+ e^-$ , а также переходного формфактора  $|F(q^2)|$ . Ранее вероятность распада  $\omega \rightarrow \pi^0 e^+ e^-$  измерялась на нейтральном де-

\*E-mail: baiert@inp.nsk.su

**Таблица 1.** Результаты предыдущих измерений и теоретические расчеты вероятностей распадов  $\omega, \rho \rightarrow \pi^0 e^+ e^-$

Процесс	Результаты измерений	Теория [4, 5]
$\omega \rightarrow \pi^0 e^+ e^-$	$(0.59 \pm 0.19) \cdot 10^{-3}$ [1] $(0.819 \pm 0.094) \cdot 10^{-3}$ [2]	$0.8 \cdot 10^{-3}$
$\rho \rightarrow \pi^0 e^+ e^-$	$< 1.6 \cdot 10^{-5}$ [2]	$(0.5-0.6) \cdot 10^{-5}$

тектуре (НД) [1] и криогенном магнитном детекторе (КМД-2) [2], а для вероятности распада  $\rho \rightarrow \pi^0 e^+ e^-$  был установлен верхний предел [2]. Результаты этих экспериментов и теоретических расчетов приведены в табл. 1. Переходный формфактор  $|F(q^2)|$  в процессе  $\omega \rightarrow \pi^0 e^+ e^-$  был измерен ранее на КМД [2]. Кроме того, ранее он также измерялся в процессе  $\omega \rightarrow \pi^0 \mu^+ \mu^-$  [3].

## 2. ДЕТЕКТОР, ЭКСПЕРИМЕНТ

Эксперимент по изучению процессов  $e^+ e^- \rightarrow \omega, \rho \rightarrow \pi^0 e^+ e^-$  проводился на  $e^+ e^-$ -коллайдере ВЭПП-2М [6] со сферическим нейтральным детектором (СНД). СНД [7] представляет собой универсальный немагнитный детектор, главной частью которого является трехслойный электромагнитный калориметр, состоящий из 1632 счетчиков с кристаллами NaI(Tl). Энергетическое разрешение калориметра для фотонов составляет

$$\frac{\sigma_E}{E} = \frac{4.2\%}{\sqrt[4]{E[\text{ГэВ}]}}$$

угловое разрешение — около  $1.5^\circ$ , телесный угол — 90% от  $4\pi$ . Углы вылета заряженных частиц измеряются трековой системой, состоящей из двух цилиндрических дрейфовых камер. Телесный угол трековой системы составляет 95% от  $4\pi$ , угловое разрешение —  $0.5^\circ$  и  $2^\circ$  соответственно для азимутального и полярного углов.

В этой работе использовались данные двух экспериментов в области энергии 360–970 МэВ, проведенных в 1998 (ОМЕ 98) и 2000 (ОМЕ 00) гг. [8], с полной интегральной светимостью  $9.8 \text{ пб}^{-1}$ . Полное число рождений  $\omega$ - и  $\rho$ -мезонов составляет соответственно  $3.8 \cdot 10^6$  и  $7.0 \cdot 10^6$ .

## 3. АНАЛИЗ ДАННЫХ

### 3.1. Отбор событий

В большей части событий изучаемого процесса угол разлета электрона и позитрона настолько мал, что в трековой системе СНД электрон-позитронная пара регистрируется как один трек.

Для отбора таких событий процесса  $e^+ e^- \rightarrow \pi^0 e^+ e^-$  использовались следующие критерии:

1) событие содержит одну заряженную частицу и два фотона;

2) расстояние  $R$  между треком заряженной частицы и пучком в плоскости  $R-\phi$  не превышает 0.5 см,  $z$ -координата ближайшей к пучку точки трека ограничена условием  $|z| < 10$  см;

3) полярные углы каждой из частиц находятся в пределах  $36^\circ < \theta_i < 144^\circ$ ;

4) полное энерговыделение в калориметре  $E_{tot}$  не менее  $0.8\sqrt{s}$ , где  $s = 4E_b^2$ ,  $E_b$  — энергия пучка;

5) величина суммарного импульса частиц  $P_{tot}$  в событии, измеренная по калориметру, ограничена условием  $P_{tot}/E_{tot} < 0.15$ ;

6) энергия каждого из фотонов превышает 50 МэВ;

7)  $\chi^2 < 20$ , где  $\chi^2$  — параметр кинематической реконструкции события в гипотезе  $e^+ e^- \rightarrow \{e^+ e^-\} \gamma \gamma$ , где  $\{e^+ e^-\}$  обозначает  $e^+ e^-$ -пару, зарегистрированную в детекторе как одна частица;

8) инвариантная масса пары фотонов лежит в пределах  $100 < M_{\gamma\gamma} < 200 \text{ МэВ}/c^2$ ;

9) ограничения на суммарную энергию  $e^+ e^-$ -пары и квадрат массы отдачи  $\pi^0$ -мезона

$$M_{rec}^2 = \sqrt{s} (\sqrt{s} - 2E_{\pi^0}) + m_{\pi^0}^2,$$

где  $E_{\pi^0} = E_{\gamma,1} + E_{\gamma,2}$ , а  $E_{\gamma,i}$  — энергия  $i$ -го фотона, определенная по калориметру. На рис. 2 показаны двумерные распределения для процесса  $e^+ e^- \rightarrow \pi^0 e^+ e^-$  и основного фонового процесса  $e^+ e^- \rightarrow \pi^+ \pi^- \pi^0$  и наложенные ограничения.

### 3.2. Фоновые процессы

Основными источниками резонансного фона для процесса  $e^+ e^- \rightarrow \pi^0 e^+ e^-$  являются реакции  $e^+ e^- \rightarrow \rho, \omega \rightarrow \eta \gamma$ ,  $e^+ e^- \rightarrow \rho, \omega \rightarrow \pi^+ \pi^- \pi^0$  и  $e^+ e^- \rightarrow \rho, \omega \rightarrow \pi^0 \gamma$  с конверсией фотона в веществе перед дрейфовой камерой. Их вклад определялся по моделированию.

Число событий моделирования процесса  $e^+ e^- \rightarrow \eta \gamma$ , прошедших описанные выше условия отбора,

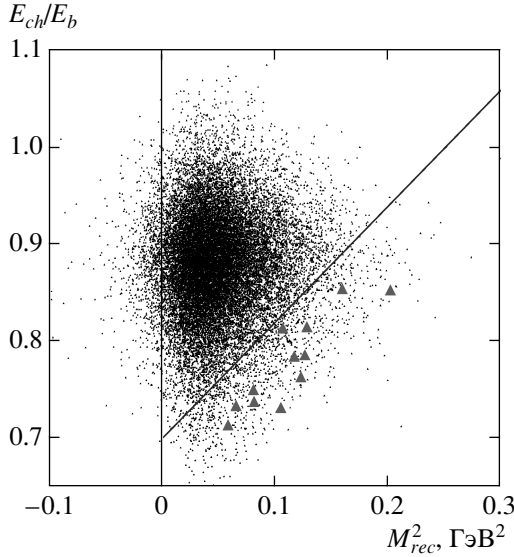


Рис. 2. Двумерное распределение моделированных событий по квадрату массы отдачи  $\pi^0$ -мезона и энергосодержанию  $e^+e^-$ -пары: точки — процесс  $e^+e^- \rightarrow \omega, \rho \rightarrow \pi^0 e^+e^-$ , треугольники — фоновый процесс  $e^+e^- \rightarrow \pi^+\pi^-\pi^0$ , линией показано условие отбора

составило 31 при статистике, превышающей экспериментальную в 30 раз. Это соответствует ожидаемому фону от процесса  $e^+e^- \rightarrow \eta\gamma$  около одного события.

Количество событий моделирования процесса  $e^+e^- \rightarrow \pi^+\pi^-\pi^0$  близко к числу экспериментальных событий. После применения к ним условий отбора не осталось ни одного события, что соответствует ожидаемому вкладу от процесса  $e^+e^- \rightarrow \pi^+\pi^-\pi^0$  менее трех событий на уровне достоверности 95%. Малость фона от процесса  $e^+e^- \rightarrow \pi^+\pi^-\pi^0$ , имеющего большое сечение, объясняется тем, что конфигурации конечного состояния с малым углом между пионами динамически подавлены.

Величина фона от процесса  $e^+e^- \rightarrow \pi^0\gamma$  определяется вероятностью конверсии фотона в веществе перед дрейфовой камерой. Для оценки точности моделирования конверсии фотона был экспериментально изучен процесс  $e^+e^- \rightarrow \gamma\gamma$  с конверсией фотона в веществе перед дрейфовой камерой. При анализе также учитывались вклады следующих процессов:  $e^+e^- \rightarrow e^+e^-\gamma$  с малым углом разлета  $e^+e^-$ -пары,  $e^+e^- \rightarrow e^+e^-\gamma$  с незарегистрированным мягким электроном и  $e^+e^- \rightarrow e^+e^-$  с одним из электронов, ошибочно идентифицированным как фотон. Вклад первого процесса вычитался по моделирова-

нию, а двух последних — подавлялся с помощью условий на число сработавших проволочек в дрейфовой камере и величину  $dE/dx$  в слоях дрейфовой камеры. В результате проведенного сравнения с моделированием определена поправка к вероятности конверсии в веществе перед дрейфовой камерой

$$\kappa = \frac{N_{exp}^{conv}}{N_{mc}^{conv}} = 0.82 \pm 0.04.$$

При этом характерная величина вероятности конверсии фотонов составляет около 1% при нормальном падении.

Кроме описанного фона от резонансных процессов имеется фон от процессов квантовой электродинамики (КЭД):  $e^+e^- \rightarrow e^+e^-\gamma$  с одним электроном, ошибочно идентифицированным как фотон, или с фоновым фотоном, наложившимся на событие с малым углом между заряженными частицами,  $e^+e^- \rightarrow 3\gamma$  с конверсией одного из фотонов в веществе перед дрейфовой камерой,  $e^+e^- \rightarrow e^+e^-\gamma\gamma$  с малым углом разлета  $e^+e^-$ -пары. Суммарный вклад от этих процессов, отличающихся от изучаемого энергетической зависимостью сечения, определялся при аппроксимации наблюдаемого сечения.

### 3.3. Параметризация сечения

Зависимость видимого сечения от  $s$  параметризовалась следующим образом:

$$\sigma_{tot}(s) = \epsilon\sigma_{\pi^0 e^+e^-}(s)(1 + \delta_{\pi^0 e^+e^-}) + \kappa\epsilon_{\pi^0\gamma}\sigma_{\pi^0\gamma}(s)(1 + \delta_{\pi^0\gamma}) + \sigma_{QED}^{vis}(E_0)\frac{E_0^2}{s},$$

где  $\epsilon$  — эффективность регистрации событий процесса  $e^+e^- \rightarrow \pi^0 e^+e^-$ ,  $\epsilon_{\pi^0\gamma}$  — эффективность регистрации процесса  $e^+e^- \rightarrow \pi^0\gamma$ ,  $\kappa$  — поправка к вероятности конверсии фотона в моделировании,  $\delta_{\pi^0 e^+e^-}$ ,  $\delta_{\pi^0\gamma}$  — радиационные поправки к сечениям соответствующих процессов,  $E_0 = 760$  МэВ. Первый член суммы описывает сечение исследуемого процесса, второй член — сечение процесса  $e^+e^- \rightarrow \pi^0\gamma$  с конверсией фотона в веществе перед дрейфовой камерой, третий член — вклад процессов квантовой электродинамики.

В модели векторной доминантности сечение процесса  $\sigma_{\pi^0 e^+e^-}(s)$  описывается следующим образом:

$$\sigma_{\pi^0 e^+e^-}(s) = \frac{F(s)}{s^{3/2}} \left| \sum_{V=\rho,\omega,\phi} A_V \right|^2, \\ F(s) = \left( \frac{s - m_{\pi^0}^2}{2\sqrt{s}} \right)^3,$$

$$A_V = \sqrt{12\pi \frac{m_V^3 \mathcal{B}(V \rightarrow e^+e^-) \mathcal{B}(V \rightarrow \pi^0 e^+e^-)}{F(m_V^2)} \frac{\Gamma_V e^{i\varphi_V}}{D_V(s)}}$$

где

$$D_V(s) = m_V^2 - s - i\sqrt{s}\Gamma_V(s),$$

$m_V$  — масса мезона  $V$ ,  $\varphi_V$  — относительная фаза векторного мезона,  $\Gamma_V(s)$  — полная ширина векторного мезона как функция энергии. Энергетическая зависимость  $\Gamma_V(s)$  вычислялась в соответствии с работой [9]. Массы, ширины и вероятности распадов векторных мезонов в  $e^+e^-$ , используемые в приведенных выше формулах, были взяты из работы [10]. Фазы были заданы следующим образом:  $\varphi_\omega = 0$ ,  $\varphi_\rho = -13^\circ$ ,  $\varphi_\phi = 155^\circ$  [11]. Сечение процесса  $\sigma_{\pi^0\gamma}(s)$  задавалось аналогичным образом. Радиационные поправки вычислялись согласно работе [12].

### 3.4. Аппроксимация сечения

В описанной выше параметризации сечения параметрами аппроксимации являются вероятности распадов  $\mathcal{B}(\omega \rightarrow \pi^0 e^+e^-)$ ,  $\mathcal{B}(\rho \rightarrow \pi^0 e^+e^-)$  и величина видимого сечения КЭД-процессов  $\sigma_{QED}^{vis}(E_0)$  при некоторой фиксированной энергии  $E_0$ . Параметры  $\mathcal{B}(\rho \rightarrow \pi^0 e^+e^-)$  и  $\sigma_{QED}^{vis}(E_0)$  являются коррелированными, поэтому при определении  $\mathcal{B}(\omega \rightarrow \pi^0 e^+e^-)$  было зафиксировано отношение

$$\frac{\mathcal{B}(\rho \rightarrow \pi^0 e^+e^-)}{\mathcal{B}(\omega \rightarrow \pi^0 e^+e^-)} = r,$$

где

$$r = \frac{\mathcal{B}(\rho \rightarrow \pi^0 \gamma)}{\mathcal{B}(\omega \rightarrow \pi^0 \gamma)},$$

что эквивалентно предположению равенства отношений вероятностей распадов  $\mathcal{B}(\omega \rightarrow \pi^0 e^+e^-)/\mathcal{B}(\omega \rightarrow \pi^0 \gamma)$  и  $\mathcal{B}(\rho \rightarrow \pi^0 e^+e^-)/\mathcal{B}(\rho \rightarrow \pi^0 \gamma)$ .

Аппроксимация сечения проводилась с помощью программы [13]. Результаты, полученные для экспериментов ОМЕ98 и ОМЕ00, приведены на рис. 3, 4 и в табл. 2.

События от процесса  $e^+e^- \rightarrow \pi^0 \gamma$  с конверсией фотона составляют примерно половину от всех событий в пике (рис. 3 и 4). Различие в уровнях фона от процессов квантовой электродинамики в двух экспериментах связано с тем, что в эксперименте ОМЕ00 загрузка трековой системы пучковым фоном была значительно выше, чем в ОМЕ98, из-за чего несколько понизилась эффективность реконструкции треков. В результате увеличился фон от имеющего большое сечение процесса  $e^+e^- \rightarrow e^+e^- \gamma$ .

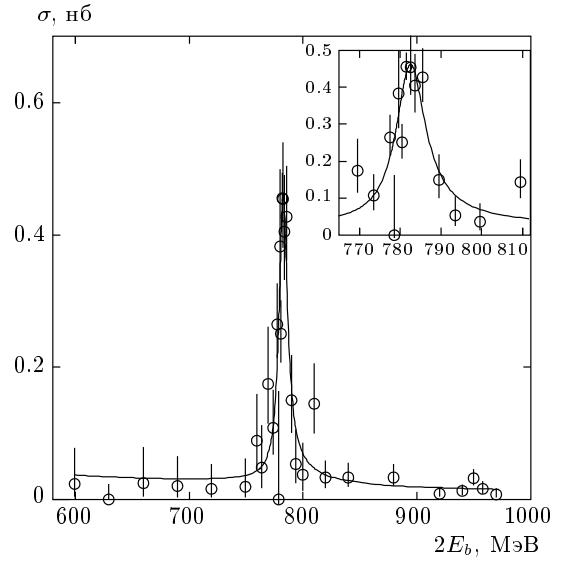


Рис.3. Измеренное сечение процесса  $e^+e^- \rightarrow \pi^0 e^+e^-$  в эксперименте ОМЕ98. Точки с ошибками — экспериментальные данные, сплошная кривая — результат аппроксимации

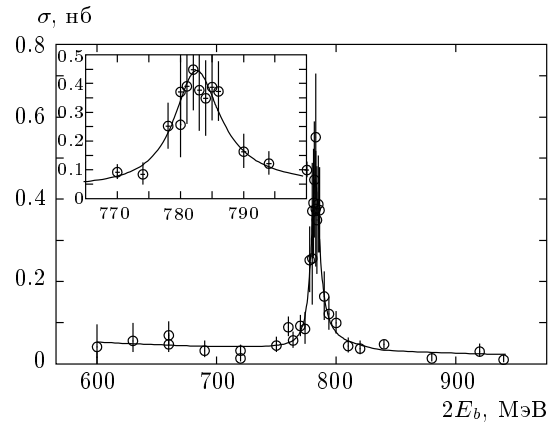
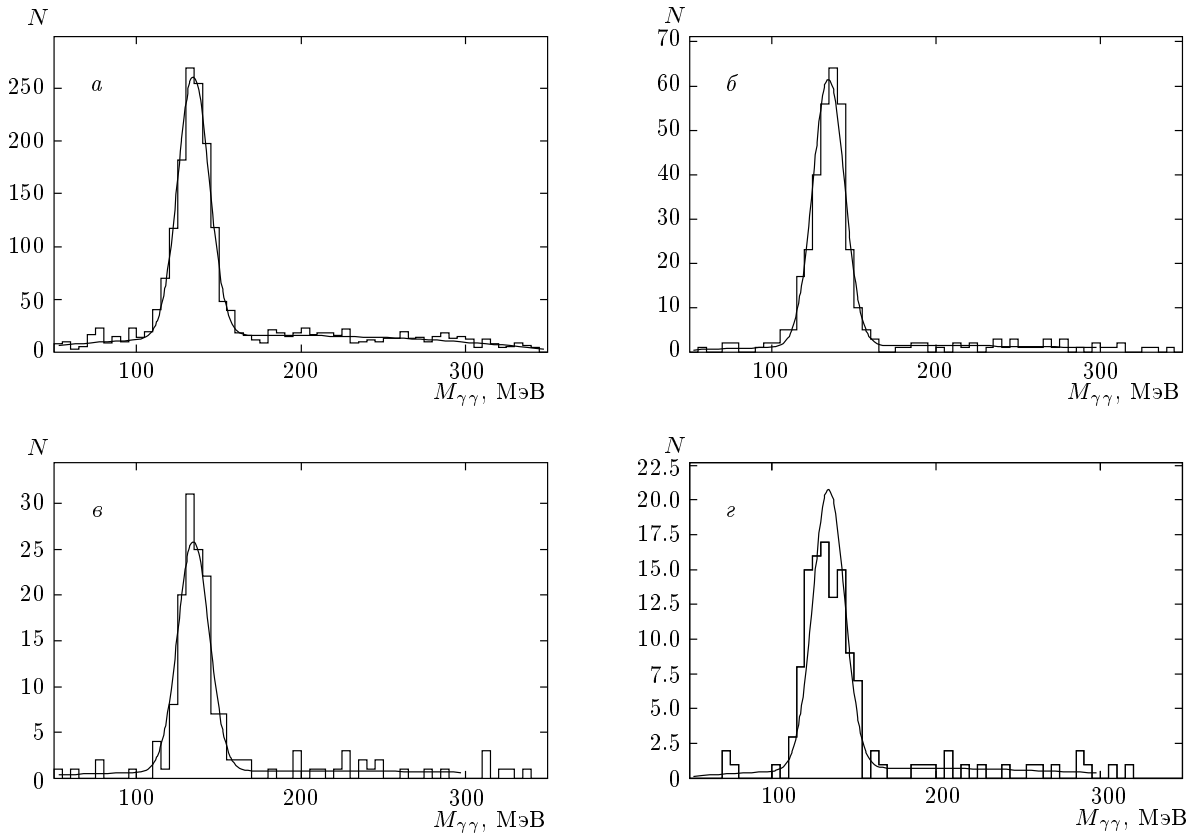


Рис.4. Измеренное сечение процесса  $e^+e^- \rightarrow \pi^0 e^+e^-$  в эксперименте ОМЕ00. Точки с ошибками — экспериментальные данные, сплошная кривая — результат аппроксимации

Таблица 2. Результаты аппроксимации измеренного сечения

Эксперимент	$\mathcal{B}(\omega \rightarrow \pi^0 e^+e^-) \cdot 10^3$	$\sigma_{QED}^{vis}(E_0)$ нб	$\chi^2/ndf$
ОМЕ98	$0.807 \pm 0.092$	$0.017 \pm 0.003$	31.9/29
ОМЕ00	$0.734 \pm 0.064$	$0.025 \pm 0.003$	18.8/29



**Рис. 5.** Распределения по инвариантной массе двух фотонов  $M_{\gamma\gamma}$  при разных значениях энергии в с.с.м.: *a* — полный энергетический интервал, *б* —  $E_b = 391$  МэВ, *в* —  $E_b = 392$  МэВ, *г* —  $E_b = 393$  МэВ. Гистограмма — экспериментальные события, кривая — результат аппроксимации

Также была изучена зависимость полученной вероятности распада  $\mathcal{B}(\omega \rightarrow \pi^0 e^+ e^-)$  от предположений о величине  $\mathcal{B}(\rho \rightarrow \pi^0 e^+ e^-)$ . Для этого проводилась аппроксимация со значениями  $\mathcal{B}(\rho \rightarrow \pi^0 e^+ e^-) = 0$  и  $\mathcal{B}(\rho \rightarrow \pi^0 e^+ e^-) = 1.1 \cdot 10^{-5}$ , соответствующими верхнему пределу, полученному в данной работе и описанному ниже в п. 3.5. При этом величина  $\mathcal{B}(\omega \rightarrow \pi^0 e^+ e^-)$  изменялась менее чем на одно стандартное отклонение.

### 3.5. Поиск распада $\rho \rightarrow \pi^0 e^+ e^-$

При наличии заметного фона от процессов КЭД результаты аппроксимации для величин  $\mathcal{B}(\rho \rightarrow \pi^0 e^+ e^-)$  и  $\sigma_{QED}^{vis}(E_0)$  сильно коррелированы. Поэтому для измерения вероятности распада  $\rho \rightarrow \pi^0 e^+ e^-$  необходимо полностью подавить фон от событий процессов КЭД. События искомого процесса можно отделить от фона, считая инвариантную массу фотонов равной массе  $\pi^0$ -мезона. Для этого в каждой точке по энергии спектр инва-

риантной массы фотонов  $M_{\gamma\gamma}$  аппроксимировался суммой гауссова распределения, соответствующего событиям с  $\pi^0$ -мезоном, и полинома второй степени, описывающего фон от процессов КЭД:

$$f(x) = \frac{N_{\pi^0}}{\sqrt{2\pi}\sigma} \exp\left(-\frac{(x-x_0)^2}{2\sigma^2}\right) + (a_0 + a_1 x + a_2 x^2).$$

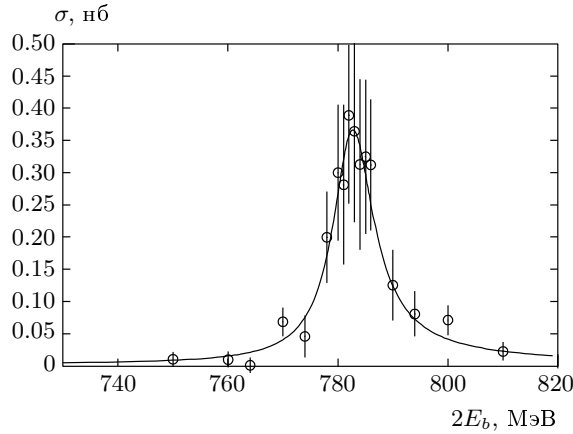
Свободными параметрами аппроксимации являлись полное число событий в пике  $N_{\pi^0}$  и параметры полинома  $a_i$ . Параметры  $\sigma$  и  $x_0$  фиксировались на значениях, полученных при аппроксимации суммарного спектра  $M_{\gamma\gamma}$  для всех энергий. Результаты аппроксимации для нескольких точек по энергии показаны на рис. 5.

В результате описанной выше процедуры в каждой энергетической точке было получено число событий  $\pi^0 e^+ e^-$ . Аппроксимация полученного видимого сечения была проведена с использованием параметризации, описанной в п. 3.3. Результаты приведены в табл. 3 и на рис. 6.

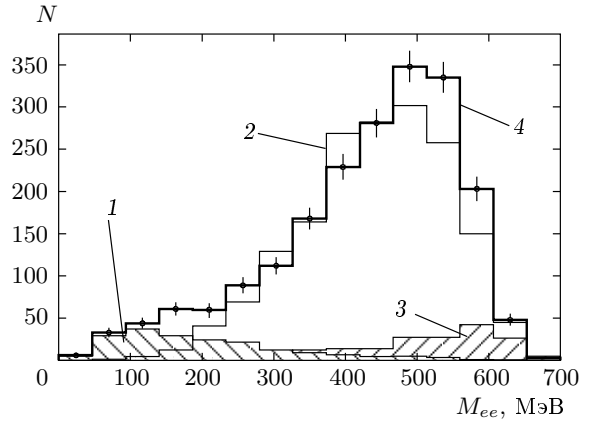
Точность определения вероятности распада

**Таблица 3.** Результаты аппроксимации сечения для измерения вероятности распада  $\rho \rightarrow \pi^0 e^+ e^-$

Эксперимент	$\mathcal{B}(\omega \rightarrow \pi^0 e^+ e^-) \cdot 10^3$	$\mathcal{B}(\rho \rightarrow \pi^0 e^+ e^-) \cdot 10^6$	$\sigma_{QED}^{vis}(E_0)$ , нб	$\chi^2/n df$
ОМЕ98 + 00	$0.756 \pm 0.123$	$\mathcal{B}_{\rho \rightarrow \pi^0 ee} = r \mathcal{B}_{\omega \rightarrow \pi^0 ee}$	$0.0 \pm 0.0005$	43.6/55
ОМЕ98 + 00	$0.802 \pm 0.154$	$0.0 \pm 6.2$	0 (фиксир.)	42.6/55



**Рис. 6.** Измеренное сечение процесса  $e^+e^- \rightarrow \pi^0 e^+ e^-$  для определения  $\mathcal{B}(\rho \rightarrow \pi^0 e^+ e^-)$ . Точки с ошибками — экспериментальные данные, сплошная кривая — результат аппроксимации



**Рис. 7.** Распределения по инвариантной массе  $e^+e^-$ -пары для процессов  $e^+e^- \rightarrow \pi^0 e^+ e^-$  (1),  $e^+e^- \rightarrow \pi^+ \pi^- \pi^0$  (2),  $e^+e^- \rightarrow e^+ e^- \gamma \gamma$  (3) и эксперимента (4). Моделирование нормировано на светимость в эксперименте

$\mathcal{B}(\omega \rightarrow \pi^0 e^+ e^-)$  в данном методе ниже, чем в описанном выше, поскольку вычитание фона из процессов КЭД проводится независимо в каждой энергетической точке, что ведет к увеличению статистической погрешности. Результат аппроксимации полученного таким образом видимого сечения процесса  $e^+e^- \rightarrow \pi^0 e^+ e^-$  (табл. 3) при фиксированном отношении вероятностей распадов  $r$  подтверждает отсутствие остаточного фона от процессов КЭД.

Систематическая ошибка в определении эффективности регистрации процесса  $\rho \rightarrow \pi^0 e^+ e^-$  составляет примерно 5%. Для определения вклада ошибки эффективности регистрации в систематическую ошибку вероятности распада  $\mathcal{B}(\rho \rightarrow \pi^0 e^+ e^-)$  была проведена аппроксимация с разными значениями эффективности ( $\pm 5\%$ ). В итоге было получено значение

$$\mathcal{B}(\rho \rightarrow \pi^0 e^+ e^-) = (0.0 \pm 6.2 \pm 3.2) \cdot 10^{-6},$$

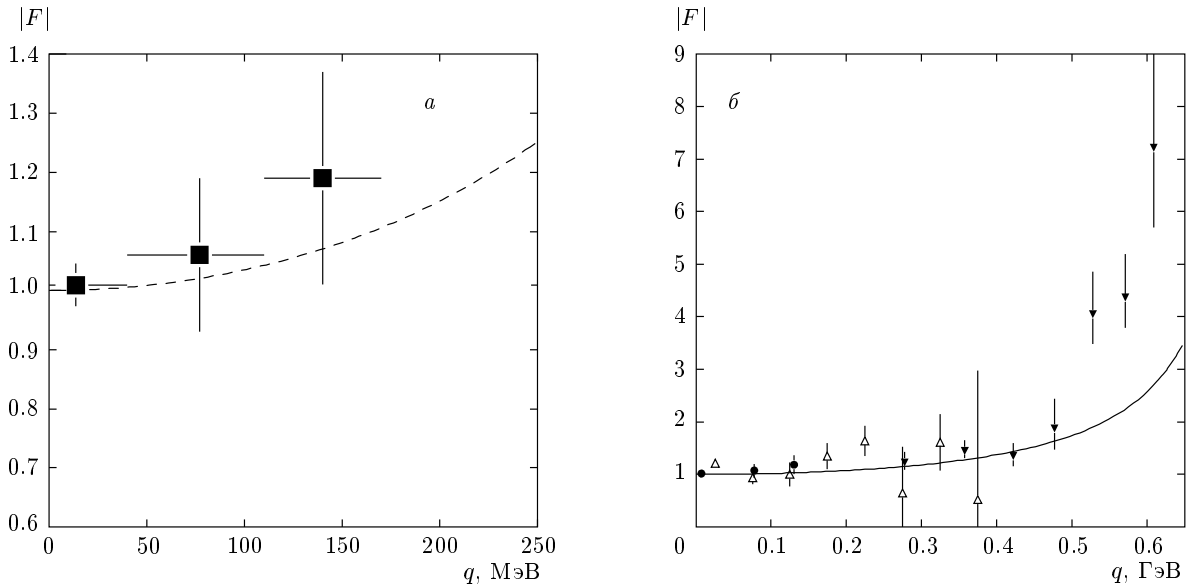
что позволяет установить верхний предел (согласно работе [14]):  $\mathcal{B}(\rho \rightarrow \pi^0 e^+ e^-) < 1.2 \cdot 10^{-5}$  (90% CL).

### 3.6. Систематические погрешности $\mathcal{B}(\omega \rightarrow \pi^0 e^+ e^-)$

Полная систематическая погрешность измерения вероятности распада  $\omega \rightarrow \pi^0 e^+ e^-$  определяется следующими источниками: точность измерения светимости — 2%, статистическая погрешность моделирования процесса  $e^+e^- \rightarrow \pi^0 e^+ e^-$  — 2%, статистическая точность определения вероятности конверсии на основе моделирования процесса  $e^+e^- \rightarrow \pi^0 \gamma$  — 4%, точность определения экспериментальной поправки к вероятности конверсии — 5%, неопределенность формы энергетической зависимости фона от процессов КЭД при аппроксимации сечения — 1%.

Для оценки систематической погрешности  $\mathcal{B}(\omega \rightarrow \pi^0 e^+ e^-)$ , связанной с выбором формы КЭД-подложки, была проведена аппроксимация в предположении постоянного сечения КЭД. Изменение величины вероятности распада  $\mathcal{B}(\omega \rightarrow \pi^0 e^+ e^-)$  составило около 1%, что и было учтено в полной систематической погрешности.

Существует также модельная зависимость эффективности регистрации, связанная с неопределен-



**Рис. 8.** а) Переходный формфактор  $|F(q)|$ , точки — результат настоящей работы, кривая — теоретическое ожидание [4]. б) Сравнение результатов измерений переходного формфактора  $|F(q)|$ : • — данная работа (СНД),  $\Delta$  — КМД-2 [2],  $\nabla$  — измерение в распаде  $\omega \rightarrow \pi^0 \mu^+ \mu^-$  [3], кривая — теоретическое ожидание [4]

ностью величины переходного формфактора  $F(q)$ . В моделировании использовалась следующая параметризация формфактора:

$$F(q) = \frac{1}{1 - q^2/\Lambda^2},$$

$1/\Lambda^2 = 1.7 \text{ ГэВ}^{-2}$  [4]. Для оценки влияния величины  $\Lambda$  на определение вероятности распада  $\mathcal{B}(\omega \rightarrow \pi^0 e^+ e^-)$  было проведено моделирование при разных значениях  $\Lambda$ :

- 1)  $|F| = 1$  (формфактор отсутствует);
- 2)  $1/\Lambda^2 = 2.5 \text{ ГэВ}^{-2}$  (соответствует результату, полученному в работе [2]).

При этом изменение эффективности регистрации составило 2.5%. Таким образом, систематическая ошибка, связанная с неопределенностью переходного формфактора, составляет 2.5%.

Кроме того, имеется вклад в систематическую ошибку, связанный с моделированием критериев отбора событий. Из-за малого количества экспериментальных событий процесса  $e^+e^- \rightarrow \pi^0 e^+ e^-$  исследование вкладов в систематическую ошибку по каждому из параметров, использованному при отборе, проводилось на событиях КЭД-процесса  $e^+e^- \rightarrow e^+e^- \gamma$ , который имеет большое сечение и сходное конечное состояние. Погрешность определялась из изменения отношения числа отобранных событий в эксперименте и моделировании при

варьировании ограничений на соответствующий параметр. Таким образом, было показано, что ограничение на полное нормированное энергосодержание в событии  $E_{tot}/\sqrt{s}$  дает вклад в систематическую погрешность 0.15%, на полный нормированный импульс  $P_{tot}/E_{tot} - 0.2\%$ , на полярный угол заряженной частицы — 1.3%, на полярные углы фотонов — 1.5%, на энергию заряженной частицы — 0.6%, на энергию фотонов — 2%, на величину  $\chi^2$  кинематической реконструкции — 2%. В итоге суммарная систематическая ошибка, связанная с условиями отбора, составила 3.8%, а полная систематическая погрешность — 8.4%.

#### 4. ИЗМЕРЕНИЕ ПЕРЕХОДНОГО ФОРМФАКТОРА

Для измерения переходного формфактора необходимо провести изучение событий с большим углом разлета электрон-позитронной пары, при этом в трековой системе СНД регистрируются два трека от заряженных частиц. В данной конфигурации событий присутствует фон от процесса  $e^+e^- \rightarrow \pi^+ \pi^- \pi^0$ , который имеет полное сечение в 1500 раз больше, чем процесс  $e^+e^- \rightarrow \pi^0 e^+ e^-$ .

Однако в области инвариантных масс  $e^+e^-$ -пары  $M_{ee} < 170 \text{ МэВ}$  количество событий от процесса  $e^+e^- \rightarrow \pi^0 e^+ e^-$  превышает количество событий фо-

**Таблица 4.** Количество зарегистрированных событий и расчетных фоновых событий в двух областях по инвариантной массе  $e^+e^-$ -пары

	40 МэВ $< M_{ee} < 110$ МэВ	110 МэВ $< M_{ee} < 170$ МэВ
Число эксперим. соб. $N_{exp}$	$53 \pm 7$	$67 \pm 8$
Фон от $e^+e^- \rightarrow \pi^+\pi^-\pi^0$	$5 \pm 3$	$18 \pm 5$
Фон от $e^+e^- \rightarrow e^+e^-\gamma\gamma$	$5 \pm 1$	$8 \pm 2$
Фон от $e^+e^- \rightarrow \pi^0\gamma$	$9 \pm 1$	0
Результ. число $e^+e^- \rightarrow \pi^0e^+e^-$	$34 \pm 8$	$41 \pm 10$

**Таблица 5.** Результат измерения переходного формфактора  $|F|$  в трех областях по инвариантной массе  $e^+e^-$ -пары

	$M_{ee} < 40$ МэВ	40 МэВ $< M_{ee} < 110$ МэВ	110 МэВ $< M_{ee} < 170$ МэВ
$ F $	$1.01 \pm 0.06$	$1.06 \pm 0.13$	$1.19 \pm 0.18$

новых процессов (рис. 7) и можно измерить величину переходного формфактора. Эта область была разбита на три части:  $M_{ee} < 40$  МэВ (эта область соответствует событиям с одним треком),  $40 \text{ МэВ} < M_{ee} < 110$  МэВ и  $110 \text{ МэВ} < M_{ee} < 170$  МэВ. Для событий с  $M_{ee} < 40$  МэВ количество событий процесса  $e^+e^- \rightarrow \pi^0e^+e^-$  определялось из результатов аппроксимации сечения (см. п. 3.4) и составило  $N = 493 \pm 34$  событий. Для событий с  $40 \text{ МэВ} < M_{ee} < 110$  МэВ и  $110 \text{ МэВ} < M_{ee} < 170$  МэВ применялись условия отбора, аналогичные описанным в п. 3.1, но требовалось наличие двух заряженных центральных треков. Количество зарегистрированных экспериментальных событий и количество событий от фоновых процессов, определенное с помощью моделирования, приведены в табл. 4.

Используя измеренное количество экспериментальных и фоновых событий в каждом диапазоне по  $M_{ee}$  в приведенной ниже формуле, можно получить значения переходного формфактора:

$$|F|^2 = \frac{N_{exp} - N_{bg}}{N_{\omega} \mathcal{B}(\omega \rightarrow \pi^0 e^+ e^-) \int_{q_{min}}^{q_{max}} w(q) \epsilon(q) dq},$$

где  $N_{exp}$  — число зарегистрированных событий,  $N_{bg}$  — суммарное число фоновых событий,  $N_{\omega}$  — число рожденных в эксперименте  $\omega$ -мезонов,  $\mathcal{B}(\omega \rightarrow \pi^0 e^+ e^-)$  — вероятность распада, измеренная в данной работе,  $q = M_{ee}$ ,  $w(q)$  — плотность вероятности, взятая из результатов моделирования,

проведенного согласно формулам из работы [4] при условии  $|F| = 1$ ,  $\epsilon(q)$  — зависимость эффективности регистрации процесса  $\omega \rightarrow \pi^0 e^+ e^-$  от инвариантной массы  $e^+e^-$ -пары в данном диапазоне по  $M_{ee}$ . Полученные значения переходного формфактора  $|F(q)|$  приведены в табл. 5 и на рис. 8а. Данные согласуются с предыдущими измерениями [2, 3] и теоретическим расчетом. Результаты сравнения измеренного формфактора  $|F(q)|$  с полученными ранее значениями показано на рис. 8б.

## 5. ЗАКЛЮЧЕНИЕ

В работе измерена вероятность распада  $\omega \rightarrow \pi^0 e^+ e^-$ :

$$\mathcal{B}(\omega \rightarrow \pi^0 e^+ e^-) = (0.761 \pm 0.053 \pm 0.064) \cdot 10^{-3}.$$

Полученный результат хорошо согласуется с теоретическими расчетами [4, 5] и результатами предыдущих измерений [1, 2]. Установлен верхний предел вероятности распада  $\rho \rightarrow \pi^0 e^+ e^-$ :

$$\mathcal{B}(\rho \rightarrow \pi^0 e^+ e^-) < 1.2 \cdot 10^{-5} \text{ (90 \% CL)}.$$

В трех диапазонах по инвариантной массе  $e^+e^-$ -пары измерена величина переходного формфактора, значение которого не противоречит теоретическому ожиданию [4].

Работа выполнена при частичной финансовой поддержке РФФИ (гранты №№ 06-02-16294-а, 06-02-16192-а).

ЛИТЕРАТУРА

1. С. И. Долинский и др., ЯФ **48**, 442 (1988).
2. R. R. Akhmetshin et al., Phys. Lett. B **613**, 29 (2005).
3. R. I. Dzhelyadin, Phys. Lett. B **102**, 296 (1981).
4. L. G. Landsberg, Phys. Rep. **128**, 301 (1985).
5. M. Hashimoto, arXiv:hep-ph/9605422.
6. I. A. Koop et al., Physics and Detectors for DAPHNE, Frascati (1999), p. 393.
7. M. N. Achasov et al., Nucl. Instr. Meth. A **449**, 125 (2000).
8. M. N. Achasov et al., Phys. Rev. D **68**, 052006 (2003).
9. N. N. Achasov et al., Int. J. Mod. Phys. A **7**, 3187 (1992).
10. S. Eidelman et al., Phys. Lett. B **592**, 1 (2004).
11. M. N. Achasov et al., Phys. Lett. B **559**, 171 (2003).
12. E. A. Kuraev and V. S. Fadin, Sov. J. Nucl. Phys. **41**, 466 (1985).
13. A. V. Bozhenok et al., Preprint BINP 99-103 (1999).
14. G. I. Feldman and R. D. Cousins, Phys. Rev. D **57**, 3873 (1998).